

高い塩基多様度（0.066%）を示した。（3）テナガザルのいくつかの種で、同一種に属する個体が単系統群とならなかった。

この結果は論文として発表し（文献），またこれらの研究成果を日本進化学会第3回大会，および日本分子生物学会第24回大会において発表した。

文献：Noda, R., Kim, C.-G., Takenaka, O., Ferrell, R. E., Tanoue, T., Hayasaka, I., Ueda, S., Ishida, T. & Saitou, N. (2002) Mitochondrial 16S rRNA sequence diversity of hominoids. Journal of Heredity 92: 490-496.

計画1-5 p53遺伝子解析による霊長類の種属と進化、分岐に関する研究

安積順一・玉木敬二・松本博志
(札幌医大・医・法医学)

ヒトと非ヒト霊長類の識別および進化、分岐を探る目的で、ヒトp53遺伝子の第3イントロンと第4イントロンにプライマーを設定し、ヒトと非ヒト霊長類（13種類）の第4エクソンの塩基配列の解析を行った。

ヒトとチンパンジー、ピグミーチンパンジーおよびゴリラの第4エクソンの塩基配列を比較したところ、チンパンジーとピグミーチンパンジーの12番目の塩基（コードン36）がG→Aに置換していたのを除き塩基配列は同じであった。この部位はヒトにおいて塩基多型がみつかっており、ヒト同様の塩基多型が類人猿にもあることを示唆している。非ヒト霊長類（上記の3種類を除く）ではヒトに対する共通の塩基置換が、第4エクソンの56番目（A→C）、103番目（C→T）、199番目（T→C）の3カ所にあった。

p53遺伝子第4エクソンの塩基配列から平均距離法（UPGMA）で分子系統樹を作成して、霊長類14種類の系統関係を解析したところ、類人猿のフクロテナガザル、シロテナガザルと旧世界ザルのリーフモンキーは同じ分類となり、また新世界ザルのリスザルとは比較的近い関係になったことは非常に興味深いことである。

今後、p53遺伝子の第4エクソン以外の部分についても塩基配列の解析を行い、霊長類の系統関係をより明らかにしたい。

計画2-1 光学活性化学物質の立体選択的代謝反応における分子機構

成松鎮雄・比知屋寛之・竹味千恵
・山本重雄（岡山大・薬）
・佐藤哲男（霊長類機能研）

ヒトとサルの薬物代謝機能に関する比較生化学的研究の一環として光学活性なβ遮断薬Bufuralol（BF）の立

体選択的代謝反応をヒトとニホンザルの間で比較した。BFの側鎖には不斉炭素が一つあることからR-BFとS-BFのエナンチオマーが存在し、β受容体遮断活性はR-BF<S-BFである。ヒト肝ミクロソーム（Ms）においては、いずれのBFエナンチオマーも芳香環7位に付いたエチル基の1'位水酸化が主要な代謝経路であり、新たな不斉炭素を生じる（Fig参照）。なお1'-OH-BFはβ受容体遮断活性が母化合物を上回る活性代謝物である。ヒト肝で1'位水酸化反応を主に触媒するCYP2D6は遺伝子多型性を示すことで知られている。

ヒト肝MsによるR-BFからの1'位水酸化体生成活性は1' R-OH<1' S-OH、一方S-BFからは1' R-OH>1' S-OHであり、酵母発現CYP2D6の選択性と一致した。ニホンザル肝MsによるBFエナンチオマー酸化反応では、ヒトと同様に1'位水酸化体が主要な代謝物として生成し、代謝物ジアステレオマー生成活性はヒトと同様R-BFからの1'位水酸化体生成活性は1' R-OH<1' S-OH、S-BFからは1' R-OH>1' S-OHであった。そこで、ニホンザル肝に存在するCYP分子種の性質を検討するために、マーモセットCYP2D19 cDNAの塩基配列に基づいて調製したプライマーを用いたRT-PCRによりニホンザル肝抽出total RNAからcDNAを作製し、大腸菌ベクターであるpBSにクローニングして塩基配列を決定した。次いでシャトルベクターpGYR1にサブクローニングした後に酵母細胞にトランスフェクションし、還元酵素と共に発現させた。このようにしてニホンザル肝より得られたCYP分子種は推定アミノ酸配列においてヒトCYP2D6、カニクイザルCYP-2D17及びマーモセットCYP2D19と各々99, 96及び88%の相同性を示し、CYP2D29と命名された。BF1'位水酸化反応においてCYP2D29発現酵母Msはニホンザル肝Msと同じ立体選択性を示すと共に、ニホンザル肝MsによるBF1'位水酸化反応は、ヒトCYP2D6の特異的阻害剤quinidineあるいはラットCYP2D2抗体添加により、濃度依存的に阻害された。以上の結果より、ニホンザル肝にはヒトCYP2D6と良く類似するCYP2D29が存在し、光学活性医薬品の立体選択的酸化反応に寄与することが明らかになった。

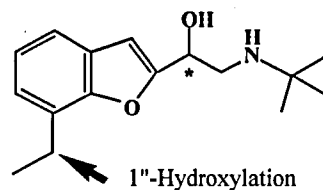


Fig. Bufuralol 1'-Hydroxylation. *Asymmetric carbon.